

# МИНЕРАЛОГИЯ

**Е.В. Аникина, Е.В. Пушкарев, Ю.А. Поленов, В.В. Григорьев, В.Н. Филиппов**

## ХРОМСОДЕРЖАЩИЕ ГРАНАТЫ ИЗ ХРОМИТОВ ДУНИТ-КЛИНОПИРОКСЕНИТ-ГАББРОВЫХ КОМПЛЕКСОВ УРАЛА – СОСТАВ И ПАРАГЕНЕЗИСЫ

Обогащенные уваровитовым компонентом гранаты не пользуются широким распространением в природе, тем не менее, известны случаи, когда эти минералы выступают в качестве породообразующих в некоторых метаморфических породах, известково-силикатных скарнах, а также в родингитах, связанных с оphiолитовыми комплексами [Осипенко и др., 2001; Рябов и др., 1996; Mogessie et al, 1988].

Кроме этого, хромсодержащие гранаты довольно часто выполняют трещины, либо встречаются в виде единичных зерен в цементе хромититов различных формационных типов гипербазитов [Макеев, 1992; Duke et al, 1982; Qasim et al, 1984 и др.].

Хромистый андрадит в составе минеральной ассоциации, выполняющей миароловые пустоты в дунитах и платиносодержащих хромититах, был описан А.Г. Бетехтиным [1935, 1946], а в последующем, более подробно в работах О.К. Иванова [1986, 1997].

Нами было установлено, что хромсодержащие гранаты угандитового ряда входят также в состав минеральной ассоциации сингенетических микровключений в рудных хромшпинелидах в дунитах Нижнетагильского (г. Соловьева) и Кытлымского (г. Косьвинский Камень) массивов Платиноносного пояса Урала [Аникина, Пушкарев, Вилисов, 1999], а также в состав поздних хлорит-гранатовых прожилков, секущих хромититы. Разнообразие геологических ситуаций, в которых встречаются хромистые гранаты, послужило поводом для их более детального изучения с целью хотя бы приближенной оценки взаимосвязи их состава с генезисом.

Помимо собственной коллекции образцов из Нижнетагильского, Кытлымского и Хабарнинского массивов, нами были изучены образцы из фондов Уральского геологического музея. По положению относительно «рудного» хромшпинелида, все изученные нами гранаты были условно разбиты на четыре группы: 1) гранаты сингенетических силикатных включений; 2) гранаты интерстициальной минеральной ассоциации хромититов; 3) гранаты поздних хлорит-гранатовых прожилков, секущих хромититы; 4) гранаты миароловых пустот в дунитах.

**Гранат в составе силикатных микровключений** образует, как правило, мелкие (первые микроны) ксеноморфные выделения, приуроченные к границам микровключений и вмещающего хромшпинелида. Состав граната варьирует в широких пределах  $\text{Uv}_{46-7}\text{Gr}_{63-39}\text{And}_{23-16}$  и по соотношению ионов в октаэдрической позиции может быть разделен на существенно гроссуляровый (Нижнетагильский и Кытлымский массивы) и существенно уваровитовый (Хабарнинский массив) гранат (табл. 1). Содержание  $\text{TiO}_2$  в них колеблется от 0,40 до 1,64 мас.%, отражая присутствие шорломитового компонента. Высокие концентрации магния (до 4,3 мас.%) являются, по-видимому, результатом захвата магнезиальной матрицы при микрозондовом анализе мелких фаз.

Минеральная ассоциация силикатных микровключений, помимо граната, включает диопсид, амфибол, флогопит, натровый хлорит, алюминийсодержащий серпентин, апатит и пектолит. Анализы минералов приведены в таблице 2. Набор минералов, как в разных образцах, так и в разных включениях в одном образце,

Таблица 1

Химический состав кальциевых гранатов (мас. %) из хромититов и дунитов дунит-верлит-клинопироксенитовых комплексов

Компо-нент	1	2	3	4	5	6	7	8	9	10	11	12
	Нт-127	Кт-349-1	Кт-349-2	Х6-1583-1	Хт-31/2	Нт-119	Хт-1-5	Х6-1583-2	53/34564	23/383	23/383-1	66/34548
SiO <sub>2</sub>	36,37	37,77	36,02	32,40	36,54	35,31	35,44	34,98	36,73	36,69	36,20	37,15
TiO <sub>2</sub>	0,00	1,28	1,70	0,24	1,64	0,40	1,38	0,94	0,45	0,51	0,64	1,59
Al <sub>2</sub> O <sub>3</sub>	1,24	2,41	3,51	0,44	12,44	7,28	6,73	5,20	1,63	2,24	2,51	5,54
Cr <sub>2</sub> O <sub>3</sub>	0,06	12,44	8,97	5,50	2,27	8,48	9,42	15,64	9,47	20,02	20,24	11,05
MgO	0,10	0,53	0,53	0,00	3,47	3,75	4,30	0,76	0,33	0,13	0,22	0,49
FeO*	27,26	13,77	15,26	21,55	5,84	8,10	7,45	5,77	18,61	6,91	6,80	9,96
CaO	33,10	32,54	31,62	34,74	34,63	33,12	34,67	36,65	32,25	33,11	32,71	34,26
Сумма	98,20	100,80	97,66	97,26	96,94	96,49	99,66	100,68	99,48	99,69	99,40	100,07

Катионный состав граната в пересчете на 12 атомов кислорода												
Si	3,090	3,070	3,020	2,844	2,940	2,935	2,874	2,86	3,060	3,030	2,999	3,006
Ti	-	0,080	0,110	0,016	0,100	0,025	0,084	0,06	0,030	0,032	0,040	0,097
Al(IV)	-	-	0,045	-	-	-	-	-	-	-	-	-
Al(VI)	0,120	0,210	0,350	1,180	0,713	0,643	0,501	0,160	0,218	0,245	0,528	
Cr	0,800	0,590	0,382	0,150	0,557	0,604	1,011	0,620	1,307	1,326	0,707	
Fe <sup>(3+)</sup>	1,740	0,840	0,960	1,581	0,350	0,507	0,455	0,395	1,170	0,429	0,424	0,607
Mg	0,010	0,060	0,070	-	0,420	0,465	0,520	0,093	0,040	0,016	0,027	0,059
Ca	3,010	2,830	2,840	3,267	2,990	2,949	3,012	3,21	2,870	2,929	2,903	2,970
Минералы (моль. %)												
And	100	47	55	73	20	23	23	21	62	24	24	35
Gr		9	14	0	61	38	36	30	5	9	6	28
Uv		42	29	27	7	25	26	46	32	67	69	35
Pyr*		2	2	12	14	15	15	3	1	1	1	2

Примечание. 1, 5–7, 9–12 – Нижнетагильский массив, 2, 3 – Кытлынский массив, г. Косьвинский Камень. 4, 8 – Хабаринский массив. 1 – андрадит из крупной миаролы в дунитах; 2–4 – гранаты из интэрстициальной минеральной ассоциации хромититов; 5–8 – гранаты из силикатных микровключений в хромшпинелиде; 9 – гранат из мелких миарол в дуните в ассоциации с магнетитом и самородной мелью; 10–12 – гранат из поздних гранат-хлоритовых жил в хромититах. Анализы 2–4 выполнены на рентгеноисковом микронализаторе JSM-6400 Jeol, ИГ Коми НЦ УрО РАН (г. Сыктывкар), аналитик В.Н. Филиппов; остальные выполнены на рентгеноисковом микронализаторе Сапеях в ГЕОХИ РАН (г. Москва), аналитик Н.Н. Конюкова. FeO\* – все железо в виде FeO. Образцы: 53/34564, 23/383 и 66/34548 предоставлены из фондов Уральского геологического музея (Екатеринбург).

# МИНЕРАЛОГИЯ

Таблица 2

Химический состав сосуществующих с гранатом минералов из силикатных микровключенияй в рудном хромшпинелиде (мас. %)

№ обр.	Х6-1583-2						Кт-349						Нт-119					
	Менерал	Ди	Хл	Сп	Амф	Ап	Амф	Фл	Пек	Хл	Ди	Фл	Ди	Фл	Ди	Хл		
Компонент	1	2	3	4	5	6	7	8	9	10	11	12	13	14	15	16	17	
SiO <sub>2</sub>	52,54	28,73	37,85	45,90	0,43	42,24	39,98	52,85	32,19	52,98	40,73	52,03	27,58	27,58	27,58	27,58	27,58	
TiO <sub>2</sub>	0,00	0,00	0,00	0,32	0,00	0,53	0,23	0,04	0,00	0,15	0,04	0,09	0,12	0,12	0,12	0,12	0,12	
Al <sub>2</sub> O <sub>3</sub>	0,70	12,58	1,42	4,16	0,15	12,80	17,34	0,51	13,33	1,40	15,70	1,03	16,83	16,83	16,83	16,83	16,83	
Cr <sub>2</sub> O <sub>3</sub>	1,01	4,57	0,92	2,28	0,54	2,73	1,89	1,21	1,97	1,35	2,46	2,25	2,79	2,79	2,79	2,79	2,79	
MgO	18,25	32,62	38,90	20,66	0,23	18,97	26,52	0,05	37,00	16,67	26,39	16,75	34,80	34,80	34,80	34,80	34,80	
FeO*	1,04	0,75	2,58	0,63	0,29	3,45	1,94	0,66	1,59	2,43	2,36	2,38	2,43	2,43	2,43	2,43	2,43	
CaO	25,79	0,53	0,00	16,15	60,24	11,80	0,01	32,12	0,00	23,49	0,01	24,58	0,08	0,08	0,08	0,08	0,08	
K <sub>2</sub> O	0,00	0,45	0,00	2,28	0,00	0,78	9,97	0,00	0,00	0,02	10,54	0,02	0,06	0,06	0,06	0,06	0,06	
Na <sub>2</sub> O	0,00	0,93	0,00	1,23	0,00	3,68	0,50	10,75	0,87	0,51	0,17	0,27	3,15	3,15	3,15	3,15	3,15	
P <sub>2</sub> O <sub>5</sub>	н.о.	н.о.	н.о.	37,61	0,00	н.о.	н.о.	н.о.	н.о.	н.о.	н.о.	н.о.	н.о.	н.о.	н.о.	н.о.	н.о.	
Сумма	99,32	81,11	81,59	93,61	99,58	97,05	98,40	86,95	99,04	98,47	99,48	99,48	87,83	87,83	87,83	87,83	87,83	
Формульные коэффициенты																		
Si	1,931	2,974	2,442	7,170	0,035	6,377	2,983	2,877	3,040	1,955	3,051	1,932	2,660	2,660	2,660	2,660	2,660	
Ti	0,000	0,000	0,000	0,038	0,000	0,060	0,000	0,000	0,000	0,000	0,000	0,000	0,000	0,000	0,000	0,000	0,000	
Al(IV)	0,030	1,026	0,000	0,765	0,000	1,623	1,011	0,033	0,960	0,061	0,949	0,045	1,340	1,340	1,340	1,340	1,340	
Al(VI)	0,000	0,509	0,108	0,000	0,000	0,655	0,513	0,000	0,530	0,000	0,411	0,000	0,573	0,573	0,573	0,573	0,573	
Cr	0,029	0,374	0,047	0,282	0,035	0,326	0,112	0,052	0,150	0,040	0,146	0,066	0,213	0,213	0,213	0,213	0,213	
Fe <sup>2+</sup>	0,032	0,065	0,139	0,083	0,020	0,432	0,121	0,030	0,130	0,075	0,148	0,074	0,196	0,196	0,196	0,196	0,196	
Mg	1,000	5,033	3,740	4,812	0,028	4,269	2,950	0,000	5,220	0,917	2,947	0,927	5,003	5,003	5,003	5,003	5,003	
Ca	1,016	0,000	0,000	2,703	5,279	1,908	0,000	1,874	0,000	0,929	0,000	0,978	0,000	0,978	0,000	0,978	0,000	
K	0,000	0,000	0,000	0,454	0,000	0,151	0,949	0,000	0,000	0,000	0,000	0,000	0,000	0,000	0,000	0,000	0,000	
Na	0,000	0,187	0,000	0,373	0,000	1,078	0,072	1,134	0,160	0,036	0,000	0,000	0,589	0,589	0,589	0,589	0,589	
Mg/(Mg+Fe <sup>2+</sup> )	0,970	0,987	0,964	0,983	-	0,908	0,961	-	-	0,926	0,952	0,930	0,962	0,962	0,962	0,962	0,962	

Примечание. Количество катионов приведено в пересчете на: 24 атома кислорода для амфибола; 12 – для флогопита; 14 – для диопсида; 6 – для хлорита; 9 – для серпентина; 6 – для апатита; 6 – для пектолита. Обр. Х6-1583-2 – Хабаринский массив; обр. Кт-349 – Кыттымский массив, г. Косьвинский Камень; обр. Нт-119 – Нижнетагильский массив. Минералы: Ди – диопсид; Хл – хлорит; Сп – спиреллит; Амф – амфибол; Ап – апатит; Фл – флогопит; Пек – пектолит. Анализы 1–5 выполнены на рентгеноисковом микронализаторе JSM-6400 Jeol, ИГ Коми НЦ УрО РАН (г. Сыктывкар), аналитик В.Н. Филиппов; анализы 6 – 13 выполнены на рентгеноисковом микронализаторе Camebax, ГЕОХИ РАН (г. Москва), аналитик Н.Н. Кононкова. FeO\* – все железо в виде FeO.

может варьировать, как это видно, например, на рис. 1, но эти вариации не сказываются на составе граната.

**Гранаты из интерстициальной минеральной ассоциации хромититов** во всех наблюдавших нами случаях не образуют четких кристаллографических форм. Большой частью, это скопления ксеноморфных зерен в серпентиновой или серпентин-хлоритовой массе. Ча-

сто выделения граната приурочены к границам зерен хромшпинелида, обрастаая, и в некоторых случаях, даже разъедая их. В интерстициальной минеральной ассоциации высокохромистых руд Хабарнинского массива для граната характерны скелетные кристаллы – неправильной формы или округлые обособления с характерными неровными, изрезанными краями (рис. 2-б). По составу гранат отвечает хромсодержаще-

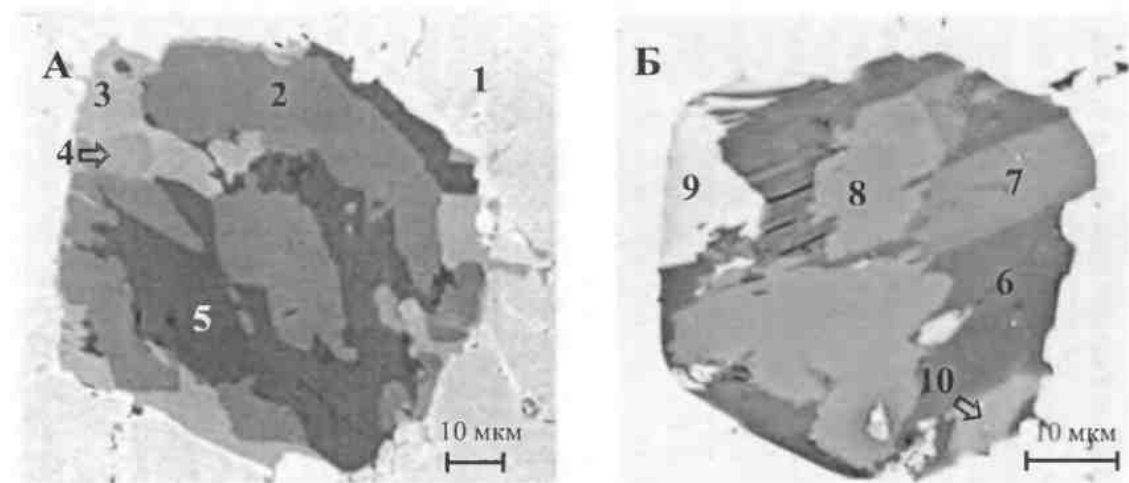


Рис. 1. Силикатные полиминеральные микровключения в рудном хромшпинелиде: а – высокохромистые руды Хабарнинского массива (обр. Хб-1583-2); б – высокохромистые руды Кытлымского массива (обр. Кт-349).

1 – хромит, 2 – диопсид, 3 – гранат, 4 – апатит, 5 – хлорит, 6 – хлорит, 7 – флогопит, 8 – амфибол, 9 – гранат, 10 – пектолит. Анализы минералов приведены в таблице 1 и 2. Изображения в обратнорассеянных электронах.

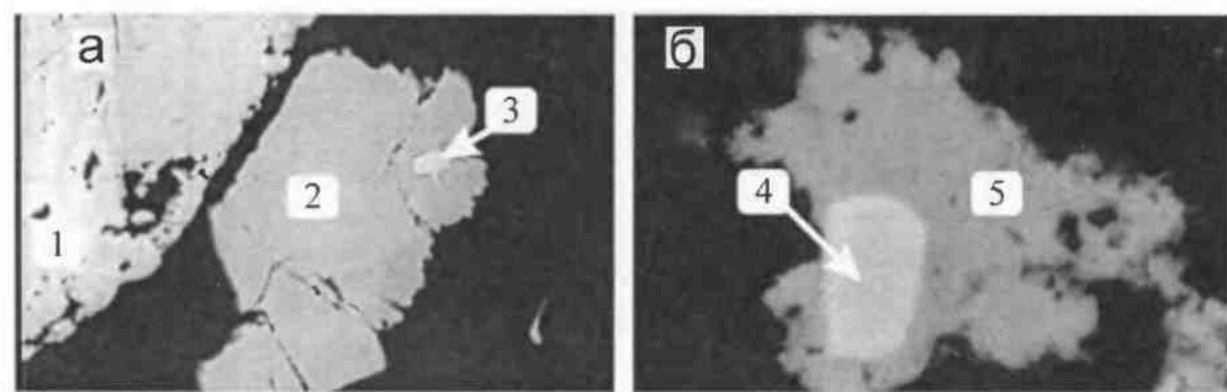


Рис. 2. Особенности строения минеральных агрегатов из интерстиций рудных хромититов Кытлымского (а) и Хабарнинского (б) массивов.

Образцы Хб-1583-1 и Кт-349 соответственно. 1 – рудный хромшпинелид, 2 – первовскит, 3 – микровключение хромшпинелида в первовските, темное поле – хлорит; 4 – микровключение хромшпинелида в гранате, 5 – гранат, темное поле – серпентин. Анализы минералов приведены в таблице 3. Изображения в обратнорассеянных электронах.

му андриту с высокой долей уваровитового компонента. Изученные нами составы соответствуют следующей минальной группировке:  $\text{Uv}_{42-19}\text{Gr}_{14-0}\text{And}_{79-47}$ . Содержание  $\text{TiO}_2$  в гранате из Кытлымского массива (обр. Кт-349) составляет 1, 28–1, 70 мас.%, тогда как в гранате Хабарнинского массива (обр. Хб-1583) оно колеблется в пределах 1,27–0, 24 мас.% (табл. 1).

Интерстициальные минеральные ассоциации в двух изученных случаях несколько отличаются друг от друга. В хромитите из Косьвинского дунитового тела в составе рудного цемента кроме серпентина и хлорита в значительных количествах присутствует диопсид. В хлоритовой массе, наряду с ксеноморфными обособлениями граната, установлен хромсодержащий перовскит (табл. 3) с мелким включением хромшпинелида (рис. 2-а). Цемент хромитита Хабарнинского массива сложен серпентином и хлоритом со «скелетными» кристаллами граната. В одном таком обособлении наблюдается идиоморфное микровключение хромшпинелида (рис. 2-б), сходное по составу с «рудным» хромшпинелидом (табл. 3). Общим для обеих ассоциаций является присутствие магнетита, как развивающегося по хромшпинелиду,

так и рассеянного в силикатной матрице.

**Гранат в составе хлорит-гранатовых прожилков в хромитите** представлен довольно крупными (до первых миллиметров) идиоморфными зернами насыщенного изумрудно-зеленого цвета. По составу гранат из двух разных образцов (табл. 1) существенно отличается. Так, в образце 23/383 он представлен андрит-уваровитом с выдержаным составом  $\text{Uv}_{79-67}\text{Gr}_{9-3}\text{And}_{24-16}$ , а в образце 66/34548 гранат характеризуется примерно равным содержанием миналов  $\text{Uv}_{35}\text{Gr}_{28}\text{And}_{35}$ . Концентрации  $\text{TiO}_2$  так же различаются, составляя, соответственно, 0,27–0,64 и 1, 59 мас.% (рис. 3).

Различается и состав сосуществующего хлорита. В ассоциации с уваровитом присутствует низкохромистый и низкожелезистый клинохлор (табл. 3). Во втором типе жильной ассоциации хлорит отвечает хромистому натрийсодержащему клинохлору, сходному по составу с хлоритом из микровключений. Отметим также сходство составов гранатов в указанных ассоциациях (рис. 4).

**Гранат миароловых пустот в дунитах, ассоциирующий с медно-магнетитовой минерализацией**, детально описанной ранее [Ани-

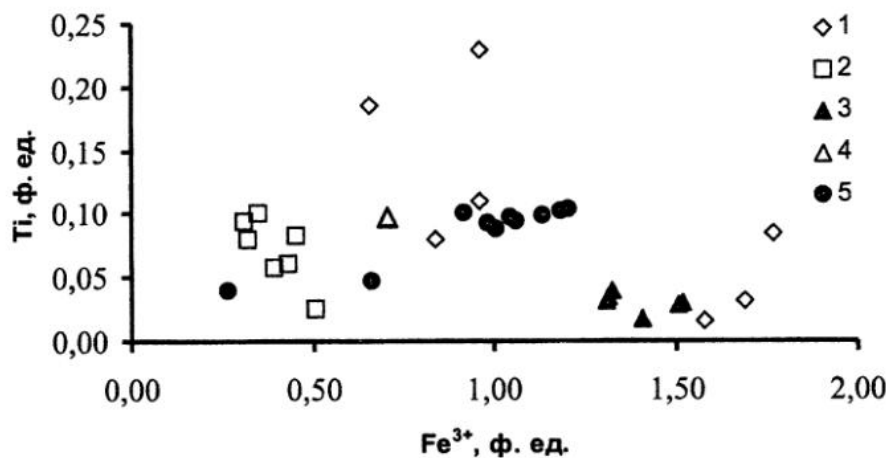


Рис. 3. Соотношение титана и железа в гранатах.

1 – интерстициальная минеральная ассоциация хромититов; 2 – силикатные микровключения в хромшпинелидах; 3 – поздние гранат-хлоритовые жилы в хромититах; 4 – жилы с натровым хлоритом; 5 – родиниты Длинногорского массива [Осипенко и др., 2001].

Таблица 3

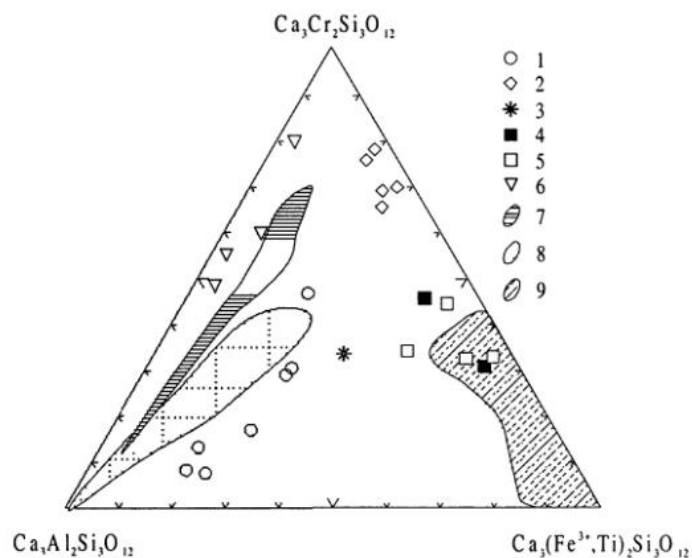
Химический состав минералов, сосуществующих с гранатом из миарол, интерстициальных парагенезисов и поздних прожилков в хромититах (мас. %)

№ обр.	23/383		66/34548		Х6-1583-1		Кг-349		127		
	Минерал	Хп	Хп	Хш	Сп	Хп	Пер	Хш	Ди	Амф	Фл
Компонент	1	2	3	4	5	6	7	8	9	10	11
SiO <sub>2</sub>	34,70	32,00	1,10	36,88	27,15	0,00	0,68	49,82	43,26	38,68	30,34
TiO <sub>2</sub>	0,00	0,05	0,35	0,00	0,22	55,40	6,27	0,00	0,46	0,11	0,00
Al <sub>2</sub> O <sub>3</sub>	19,83	17,40	7,98	1,07	13,47	0,00	5,20	1,55	9,09	12,76	13,71
Cr <sub>2</sub> O <sub>3</sub>	0,84	2,04	53,32	0,34	2,44	0,69	45,06	1,42	2,36	1,48	1,59
MgO	34,68	36,94	11,33	37,15	32,38	0,00	5,63	15,92	20,37	26,76	36,42
FeO*	0,96	2,04	18,13	1,90	1,47	0,64	30,17	2,40	3,96	3,21	3,06
CaO	0,00	0,00	1,08	0,21	0,00	43,43	3,22	27,66	12,57	0,03	0,00
K <sub>2</sub> O	0,00	0,02	0,00	0,00	0,00	0,00	0,00	0,00	0,77	7,84	0,00
Na <sub>2</sub> O	0,00	1,85	0,00	0,00	0,00	0,00	0,00	0,00	2,90	1,60	1,35
сумма	91,03	92,37	93,34	77,34	77,66	100,81	96,22	98,77	95,74	92,46	86,49
Формульные коэффициенты											
Si	3,076	2,877	0,040	2,495	2,905	0,000	0,027	1,870	0,630	3,078	2,940
Ti	0,000	0,000	0,010	0,000	0,018	0,953	0,000	0,000	0,053	0,000	0,000
Al(IV)	0,924	1,123	-	0,085	1,095	0,000	-	0,069	1,370	0,922	1,060
Al(VI)	-	-	0,340	-	-	-	0,242	-	-	-	-
Cr	1,147	0,720	-	0,000	0,623	0,000	0,000	0,273	0,275	0,500	-
Fe <sup>3+</sup>	0,059	0,145	1,526	0,018	0,206	0,013	1,406	0,042	0,287	0,093	0,120
Fe <sup>2+</sup>	0,000	0,000	0,035	0,000	0,000	0,000	0,299	0,000	0,000	0,000	0,000
Fe	0,071	0,153	0,438	0,108	0,132	0,012	0,696	0,076	0,508	0,214	0,250
Mg	4,740	4,951	0,611	3,747	5,165	0,000	0,331	0,893	4,657	3,175	5,260
Ca	0,000	0,000	0,000	0,000	0,000	1,064	0,000	1,115	2,064	0,000	0,000
K	0,000	0,000	0,000	0,000	0,000	0,000	0,000	0,000	0,151	0,796	0,000
Na	0,000	0,322	0,000	0,000	0,000	0,000	0,000	0,000	0,862	0,247	0,250
Mg/(Mg+Fe <sup>2+</sup> )	0,985	0,970	0,582	0,972	0,975	-	0,322	0,936	0,902	0,937	0,955
Cr/(Cr+Al)	-	-	0,818	-	-	0,853	-	-	-	-	-

Примечание. 1, 2, 9–11 – Нижнетагильский массив; 3, 4 – Хабаринский массив; 5–8 – Кытлынский массив; 1, 2 – поздние хлорит-гранатовые прожилки в хромитите; 3–8 – интерстициальная минеральная ассоциация хромититов; 9–11 – миарола в дунитах. Анализы 1, 2 выполнены на рентгено-вском микронализаторе «Сапфир», ГЕОХИ РАН (г. Москва), аналитик – Н.Н. Кононкова; анализы 3–8 выполнены на рентгено-вском микронализаторе IX-A-5, ИГТ УрО РАН (г. Екатеринбург), ИГ Коми НЦ УрО РАН (г. Сыктывкар), аналитик В.Н. Филиппов; анализы 9–11 выполнены на рентгено-вском микронализаторе IX-A-5, ИГТ УрО РАН (г. Екатеринбург), аналитик – В.Г. Гмыра. FeO\* – все железо в виде FeO. Образцы: 23/383 и 66/34548 предоставлены из фондов Уральского геологического музея (Екатеринбург). Обозначения минералов как в табл. 2.

Рис. 4. Диаграмма гроссуляр-уваровит-андрадит (мол. %).

1 – хромистый гроссуляр из силикатных микровключений в хромшпинелиде (Нижнетагильский, Хабаринский и Кытлымский массивы); 2 – уваровит из гранат-хлоритовых прожилков в хромитите (Нижнетагильский массив); 3 – хромовый гроссуляр в ассоциации с натровым хлоритом из прожилка в хромитите (Нижнетагильский массив); 4 – хромистый андрадит из интерстициальной минеральной ассоциации хромититов (Кытлымский массив); 5 – хромовый андрадит (Нижнетагильский массив [Бетехтин, 1946]); 6 – уваровит из хромититов Сарановского массива [Барсукова, Гекимянц, Спиридовон, 1997]. Поля составов граната: 7 – из родингитов Длинногорского габбро-гипербазитового массива [Осипенко и др., 2001]; 8 – из платиноносных аподолеритовых скарнов Талнахской интрузии [Рябов и др., 1995]; 9 – гранат в ассоциации с магнетитом из хромититов, дунитов и верлитов прочих ультраосновных комплексов [Duke, Bonardi, 1982; Qasim Jan et al, 1984; Макеев, 1992; наши данные].



кина, Пушкарев, Вилисов, 2001], представлен практически чистым андрадитом с содержанием  $\text{Al}_2\text{O}_3$  до 1,24 мас.% (табл. 1, анализ 1). Несколько отличается состав граната, также ассоциирующего с медно-магнетитовой минерализацией, но из мелких миарол в дуните (табл. 1, анализ 9). Он отвечает хромовому андрадиту с соотношением миналов  $\text{Uv}_{32}\text{Gr}_5\text{And}_{62}$  при содержании  $\text{TiO}_2$  0,45 мас.% и очень близок по составу гранатам, описанным ранее А.Г. Бетехтиным [1946] (рис. 4).

**Обсуждение результатов.** Как следует из приведенных выше данных, хромсодержащие гранаты в дунитах и хромититах дунит-клинопироксенит-габбровых комплексов относятся к угандитовому ряду с широкими вариациями в их составе соотношений трех конечных членов группы: уваровита, гроссуляра и андрадита.

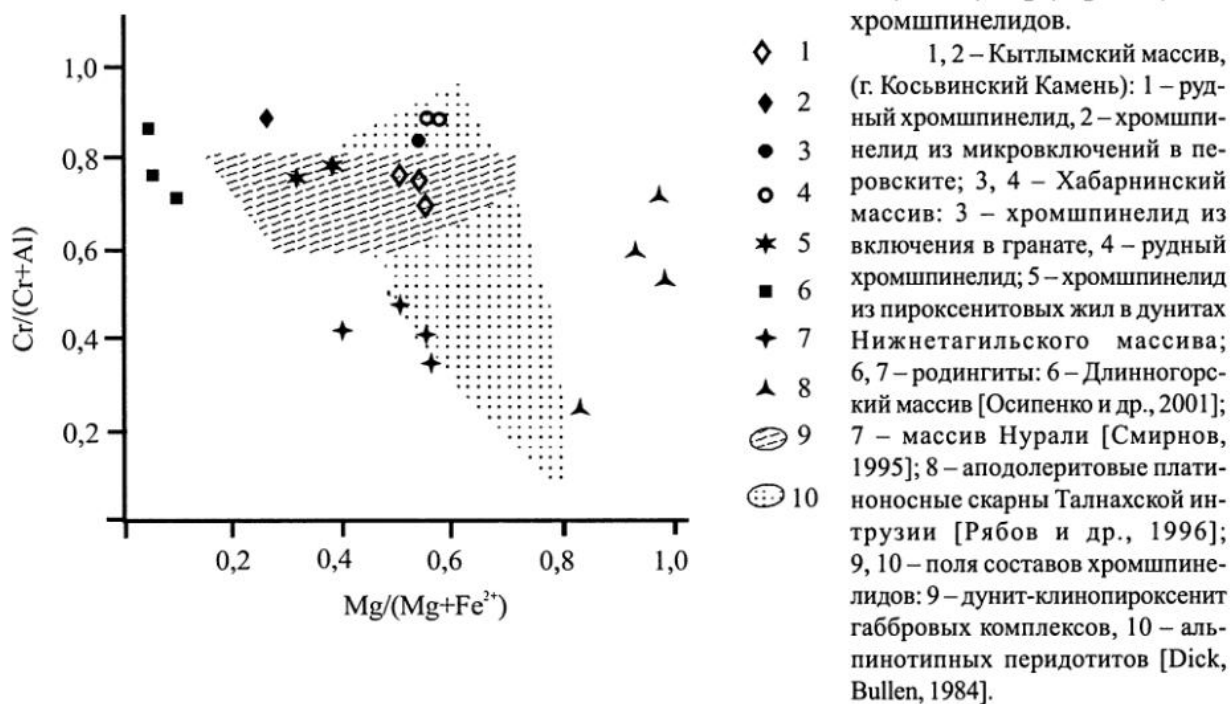
Анализ тройной диаграммы (рис. 4) показывает, что составы гранатов из силикатных микровключений в хромшпинелиде наиболее близки гранатам из аподолеритовых платиноносных скарнов Талнахской интрузии [Рябов и др., 1996], с той лишь разницей, что последние

характеризуются значительно более высокими концентрациями  $\text{TiO}_2$  (до 8,9 мас.%) при низком содержании  $\text{FeO}_{\text{общ}}$ , 0,19–1,01 мас.%. Для хромсодержащих гроссуляров из родингитов Длинногорского массива [Осипенко и др., 2001] при сопоставимых концентрациях  $\text{TiO}_2$  (1,3–1,69 мас.%), также характерно более низкое содержание железа (рис. 3).

В целом, минеральные ассоциации как известково-магнезиальных скарнов, так и родингитов, представленные в обоих случаях хромистыми разновидностями диопсида, гроссуляра и клинохлора, обнаруживают ряд общих черт с парагенезисами микровключений и силикатного цемента хромититов, что дает основание предполагать генетическое сходство этих образований. Так, например, состав микровключения хромшпинелида в первовските приближается, судя по соотношению хромистости и железистости (рис. 5), к составу хромшпинелида из родингитов Длинногорского массива.

С другой стороны, «родингитоподобная» минеральная ассоциация, сопутствующая хромититам дунит-клинопироксенит-габбровых

Рис. 5. Диаграмма  $\text{Cr}/(\text{Cr}+\text{Al})-\text{Mg}/(\text{Mg}+\text{Fe}^{2+})$  для хромшпинелидов.



комплексов, имеет специфические особенности. В частности, для нее весьма характерно присутствие натрия в хлорите [Аникина, Пушкирев, Ерохин, Вилисов, 2001], ассоциирующем не только с хромсодержащим гроссуляром, но и с обособлениями изо- и тетраферроплатины. Здесь надо подчеркнуть, что, судя по имеющимся на сегодня данным, могут быть условно выделены два типа существующих пар гранат – хлорит: 1) хромовый гроссуляр + хромисто-натровый хлорит; 2) уваровит с 20–30% андрадита + хромистый клинохлор, не содержащий натрия. Так, практически во всех изученных нами случаях, наблюдается закономерное изменение состава граната в пределах одного образца от хромсодержащего гроссуляра в микровключениях в хромите, до хромсодержащего андрадита в рудном цементе. Вероятно, что выявленная закономерность отражает регressiveный температурный ряд кристаллизации граната, на фоне возрастающего окислительного потенциала.

**Заключение.** Особенности химического состава гранатов, присутствующих в дунитах и хромититах дунит-клинопироксенит-габбровых комплексов, а также состава их пагенезисов позволяют с большой долей уверенности сопоставлять их с минеральными

ассоциациями родингитов или известково-магнезиальных скарнов.

Самым важным является вопрос, в какой мере соотносится с указанным метасоматическим процессом образование рудных хромшпинелидов и платиновой минерализации. Нами уже высказывалось предположение [Аникина, Пушкирев, Гарутти и др., 1999; Пушкирев, Аникина, 2001], что присутствие обогащенных щелочами гидроксилсодержащих минералов во всем кристаллизационном интервале формирования хромит-платинового оруденения нижнетагильского типа отражает участие щелочного флюида в процессе переноса и отложения хромшпинелидов и платиноидов. Близкий состав изотопов кислорода в оливине и хромшпинелиде дунитов и платиновых руд показывает, что они являются изотопно-гомогенными, а флюид, скорее всего, является магматическим. Относительно низкая температура ( $<750^{\circ}\text{C}$ ) и высокая окисленность хромититов, обогащенных платиной, установленная нами ранее [Чашухин и др., 1999], не противоречит проявлению своеобразного автометасоматического скарнового процесса, сходного по типу с описанным в Талнахской интрузии [Рябов и др., 1996]. Природа рудообразующего процесса, роль щелочного

## МИНЕРАЛОГИЯ

флюида в рудообразовании и место в нем описанной «родингитоподобной» минеральной ассоциации является предметом дальнейших исследований, а обсуждение этих вопросов выходит за рамки данной работы.

*Работа выполнена при финансовой поддержке РФФИ (грант 01-05-65184, 00-15-98517) и ФЦП «Интеграция»*

### *Список литературы*

*Аникина Е.В., Пушкирев Е.В., Вилисов В.А.* Состав микровключений в хромшпинелиде, как индикатор генезиса хром-платиноидного оруденения в дунитах Платиноносного пояса Урала // Ежегодник-1998 ИГТ. Екатеринбург: УрО РАН, 1999. С. 154–160.

*Аникина Е.В., Пушкирев Е.В., Гарутти Дж. и др.* Хром-платиноидное оруденение в комплексах Урало-аляскинского типа: состав и происхождение // Материалы Уральской летней минералогической школы-99. Екатеринбург: Изд. УГГГА, 1999. С. 62–82.

*Аникина Е.В., Пушкирев Е.В., Ерохин Ю.В., Вилисов В.А.* Хлорит в хромо-платиновых рудах Платиноносного пояса Урала: особенности состава и парагенезисы // Записки ВМО. 2001. № 2. С. 92–100.

*Аникина Е.В., Пушкирев Е.В., Вилисов В.А.* Новые данные о составе минералов пегматоидных жил в дунитах Нижнетагильского массива // Ежегодник-2000. Екатеринбург: ИГГ УрО РАН, 2001. С. 166–171.

*Барсукова Н.С., Гекимянц В.М., Спиридовонов Э.М.* Гранаты рядов гроссуляр-уваровит и андрадит-гроссуляр Сарановского месторождения, Средний Урал // Материалы Уральской летней минералогической школы-97. Екатеринбург: Изд. УГГГА, 1997. С. 64–67.

*Бетехтин А.Г.* Платина и другие минералы платиновой группы. М.-Л: Изд. АН СССР, 1935. 148 с.

*Бетехтин А.Г.* О хромовых гранатах из Нижнетагильского дунитового массива // Акад. Д.С. Белянкину к семидесятилетию со дня рождения. М., 1946. С. 68–73.

*Иванов О.К.* Ультрамафические пегматиты пироксенит-дунитовых массивов Платиноносного пояса Урала. Свердловск: УНЦ АН СССР, 1986. 58 с.

*Иванов О.К.* Концентрически-зональные пироксенит-дунитовые массивы Урала. Екатеринбург: УрГУ, 1997. 327 с.

*Макеев А.Б.* Минералогия альпинотипных ультрабазитов Урала. СПб.: Наука, 1992. 197 с.

*Осипенко А.Б., Сидоров Е.Г., Осипенко Л.Г., Гриб Е.Н.* Хромсодержащие гранаты из родингитов Длинногорского базит-гипербазитового массива, п-ов Валижген, Корякия // Записки ВМО. 2001. № 1. С. 72–80.

*Пушкирев Е.В., Аникина Е.В.* Минералогические свидетельства участия щелочного флюида в формировании хромит-платинового оруденения нижнетагильского типа // Проблемы магматической и метаморфической петрологии. М.: МГГА, 2001. С. 30.

*Рябов В.В., Шевко А.Я., Симонов О.Н., Аношин Г.Н.* Состав платиноносных высокохромистых скарнов Талнаха (Норильский район) // Геология и геофизика. 1996. Т. 37. № 7. С. 60–75.

*Смирнов С.В.* Петрология верлит-клинопироксенит-габбровой ассоциации Нуралинского гипербазитового массива и связанное с ним платиноидное оруденение. Дис... канд. геол.-мин. наук. Екатеринбург: ИГГ УрО РАН, 1995. 168 с.

*Чащухин И.С., Вотяков С.Л., Пушкирев Е.В. и др.* Редокс-состояние дунит-клинопироксенитовой ассоциации Урало-Аляскинского типа // Ежегодник-1998 ИГТ. Екатеринбург: УрО РАН, 1999. С. 143–146.

*Dick H.J.B., Bullen T.* Chromian spinel as a petrogenetic indicator in abissal and alpinatype peridotites and spatially associated lavas // Contrib. Miner. Petrol. 1984. Vol. 86. P. 54–76.

*Duke J.M., Bonardi M.* Chromian andradite from Reaume Township, Ontario // Can. Mineral. 1982. V. 20. P. 49–53.

*Mogessie A., Purtscheller F., Tessadry R.* Chromite and chrome spinel occurrences from metacarbonates of the Oetztal – Stubai Complex (northern Tyrol, Austria) // Min. Magaz. 1988. V. 52. P. 229–236.

*Qasim Jan M., Windley B.F., Wilson R.N.* Chromian andradite and olivine-chromite relations in a chromitite layer from the Jijal complex, Northwestern Pakistan // Can. Mineral. 1984. V. 22. P. 341–345.